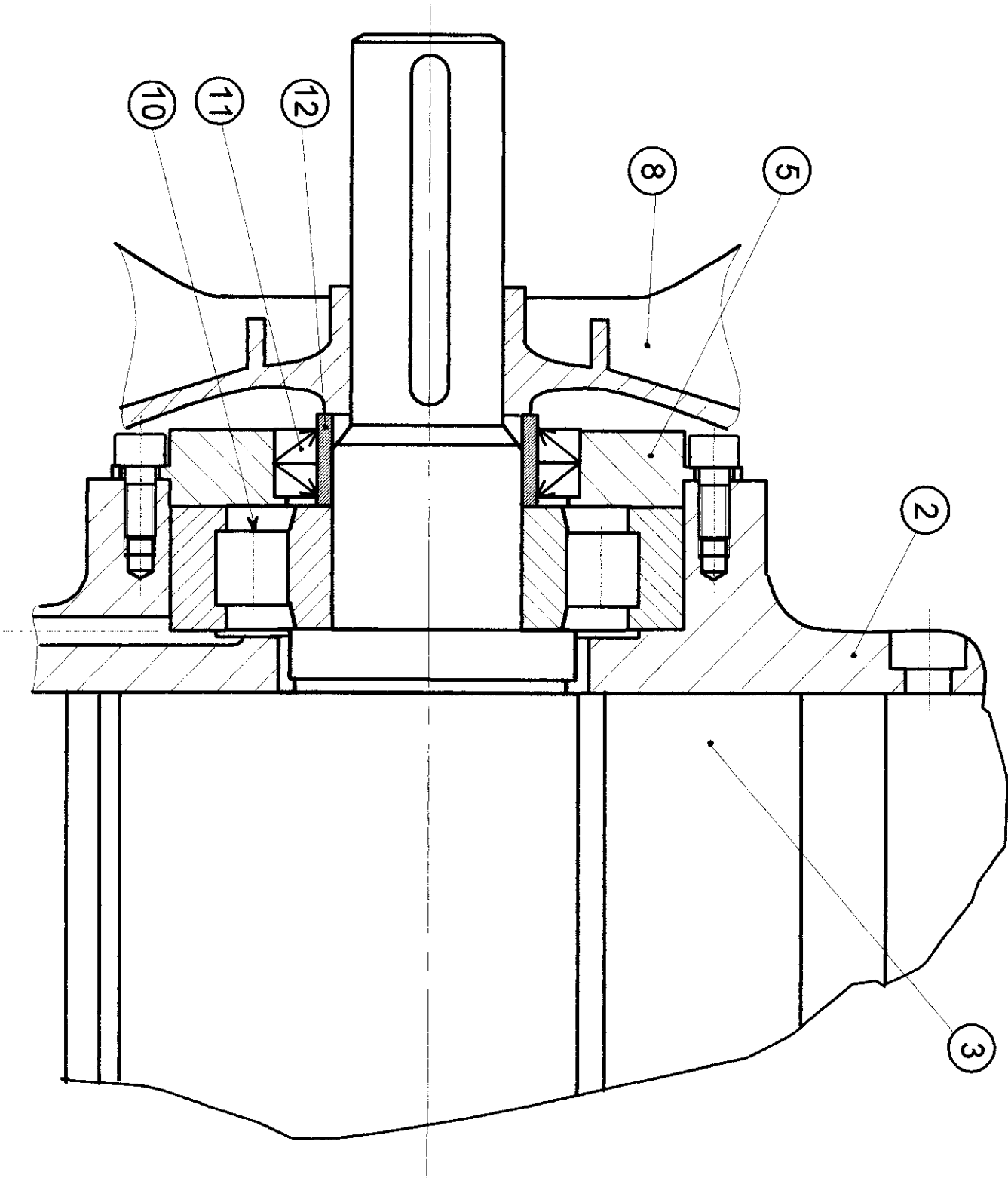


Coupe longitudinale et transversale du compresseur-pompe à vide, exécution avec clapet anti-retour

Nomenclature R12 et R13

HP ATS

31/39

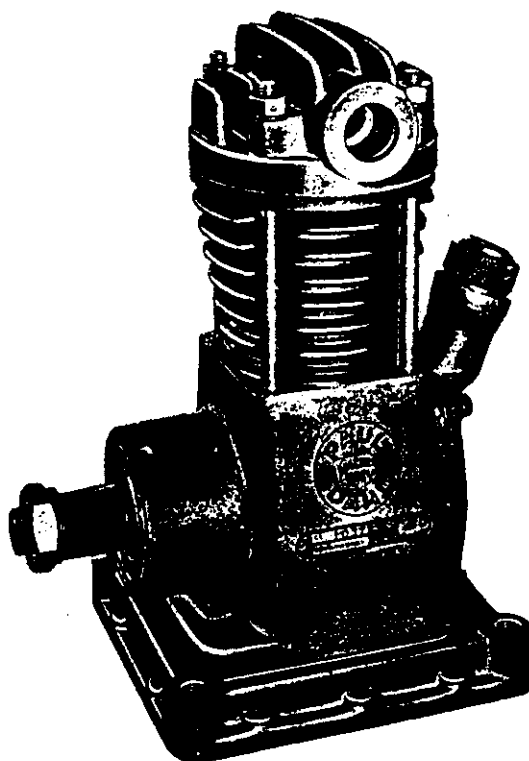




RE16

CODE RIVARD : 23885

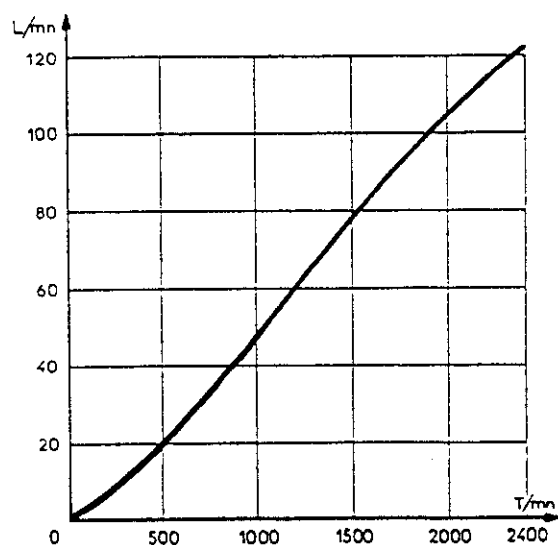
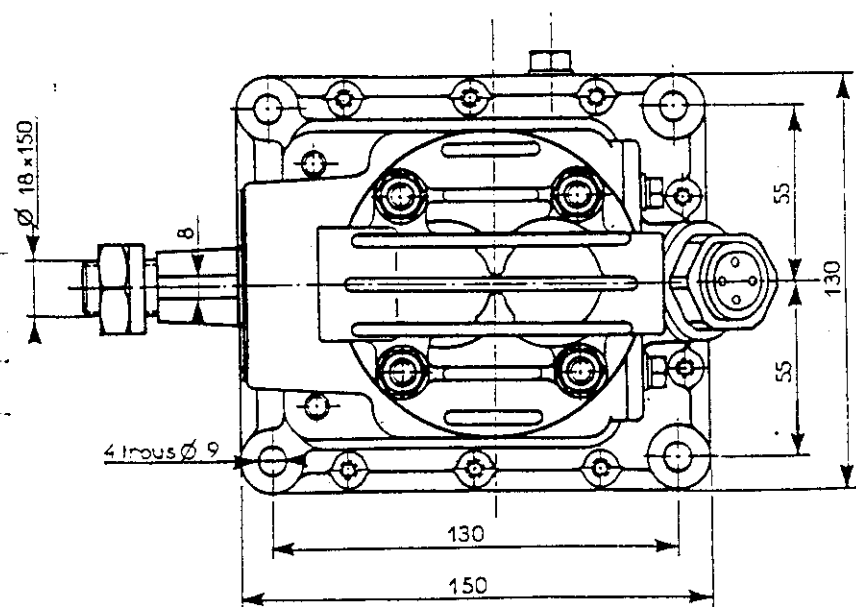
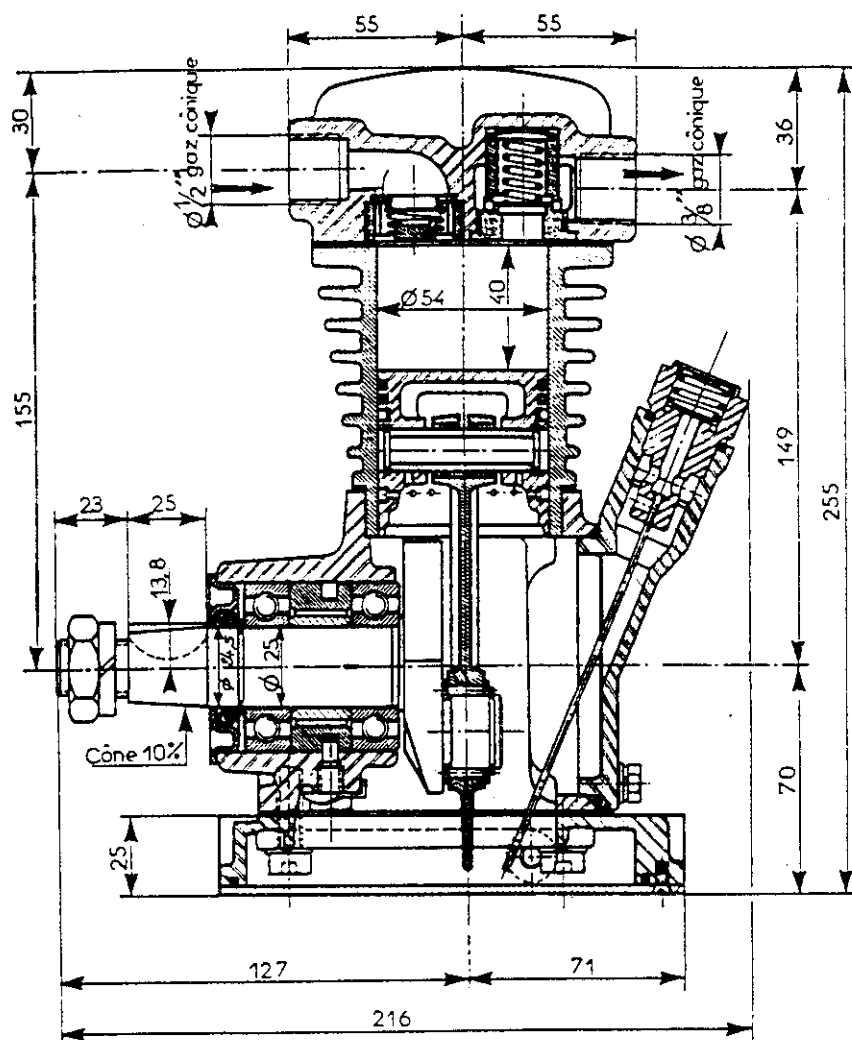
COMPRESSEUR d'air DAHL AC 30 BU



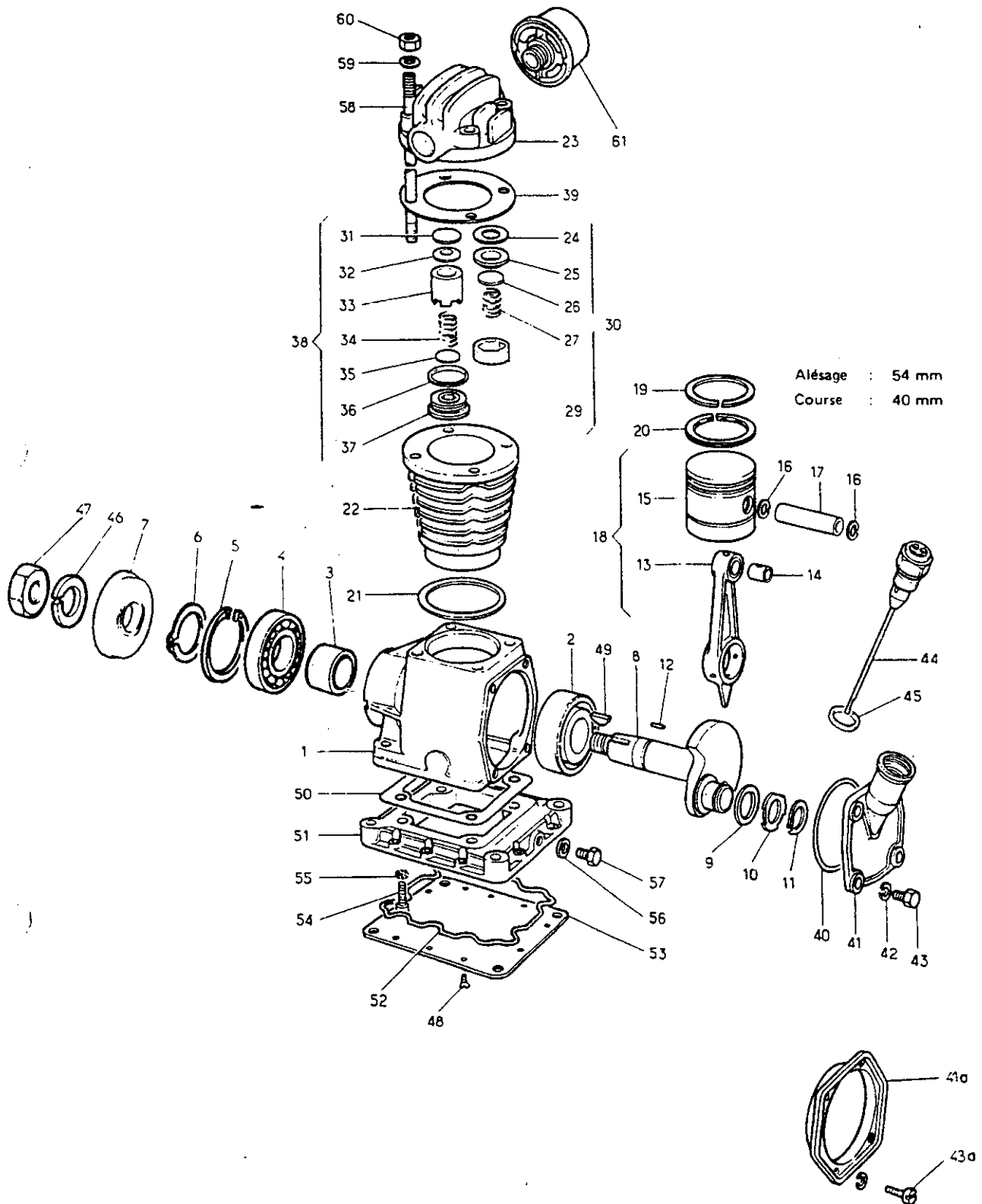
| | | |
|-----------------------|------|-------|
| Pression normale : | 8 | bar |
| Puissance : | 1,1 | kw |
| Vitesse de rotation : | 2000 | tr/mn |
| Masse : | 5,4 | kg |

CARACTERISTIQUES :

| | |
|---------------------------------------|----------------------|
| Alésage | 54 m/m |
| Course | 40 m/m |
| Vitesse de rotation normale | 2000 t/mn |
| Survitesse | 2400 t/mn |
| Pression normale de refoulement | 8 kg/cm ² |
| Rendement moyen à chaud | 0.55 |
| Puissance absorbée maximum | 1,5 cv |
| Poids | 5,4 Kg |
| Entraxes de fixation 110 x 130 m/m | |
| Hauteur d'axe | 70 m/m |



Courbe de débit à chaud pour une pression de refoulement de 7 Kg/cm²



| Rep. | Référence | Désignation | Qté |
|---------|--------------|--|-----|
| A | 101 1032 000 | COMPRESSEUR régulé. Graissage par barbotage - autonome - série | |
| B | 101 3033 000 | COMPRESSEUR régulé. Graissage par barbotage à niveau constant - Spécial DEFA | |
| C | 101 3035 000 | COMPRESSEUR régulé. Graissage par barbotage à niveau constant | |
| 1 | 101 1032 400 | Bâti série pour compresseur A | 1 |
| 1 | 101 1034 400 | Bâti pour compresseur B | 1 |
| 1 | 101 1036 900 | Bâti pour C | 1 |
| 2 | 114 9200 105 | Roulement à billes | 1 |
| 2 | 114 9201 105 | Roulement à rouleau pour C | 1 |
| 3 | 101 1032 926 | Entretoise pour A et B | 1 |
| 3 | 101 1035 200 | Entretoise pour C | 1 |
| 4 | 114 9200 105 | Roulement à billes | 1 |
| 5 | 114 9063 093 | Circlips intérieur de 52 | 2 |
| 6 | 114 9064 141 | Circlips extérieur de 25 | 1 |
| 7 | 101 1032 030 | Cuvette d'étanchéité | 1 |
| 8 | 101 1032 904 | | 1 |
| 9 | 114 9041 205 | Rondelle d'appui des aiguilles | 1 |
| 10 | 101 1032 906 | Rondelle de retenue des aiguilles | 1 |
| 11 | 114 9064 121 | Circlips extérieur de 23 | 1 |
| 12 | 114 9191 104 | Aiguille | 27 |
| 13 | 101 1032 021 | | 1 |
| 14 | 101 1032 211 | Bague de pied de bielle | 1 |
| 15 | 101 1032 200 | | 1 |
| 15 | 101 1032 990 | | 1 |
| 16 | 114 9063 031 | Circlips intérieur de 14 | 2 |
| 17 | 101 1032 201 | Axe de piston | 1 |
| 18 | 101 1032 020 | Ensemble de bielle à cuiller et piston | 1 |
| 19 | 101 1032 907 | Segment d'étanchéité conique série - Ø 54 | 2 |
| 19 | 101 1032 997 | Segment d'étanchéité conique cote réparation - Ø 54,5 | 2 |
| 20 | 101 1032 908 | Segment racleur série - Ø 54 | 2 |
| 20 | 101 1032 998 | Segment racleur cote réparation - Ø 54,5 | 2 |
| 21 | 114 9067 119 | | 1 |
| 22 | 101 1035 901 | Cylindre série - Ø 54 pour A et C | 1 |
| 22 | 101 1035 991 | Cylindre cote réparation - Ø 54,5 pour A et C | 1 |
| 22 | 101 3034 901 | Cylindre spécial DEFA - Ø 54 pour B | 1 |
| 23 à 38 | 101 0989 010 | Culasse complète | 1 |
| 23 | 101 0989 030 | Culasse | 1 |
| 24 | 114 9066 106 | Rondelle joint | 1 |
| 25 | 101 0989 907 | Siège d'aspiration | 1 |
| 26 | 101 0989 901 | Clapet d'aspiration | 1 |
| 27 | 101 0989 902 | Ressort d'aspiration | 1 |
| 29 | 101 0989 020 | Guide de clapet d'aspiration | 1 |

| Rep. | Référence | Désignation | Qté |
|------|--------------|--|-----|
| 30 | 101 0989 111 | Ensemble valve d'aspiration | 1 |
| 31 | 114 9040 109 | Disque d'appui | 1 |
| 32 | 114 9592 018 | Rondelle élastique | 1 |
| 33 | 101 0989 904 | Guide de clapet de refoulement | 1 |
| 34 | 101 0989 903 | Ressort de refoulement | 1 |
| 35 | 101 0989 905 | Clapet de refoulement | 1 |
| 36 | 114 9066 108 | Rondelle joint | 1 |
| 37 | 101 0989 906 | Siège de refoulement | 1 |
| 38 | 101 0989 222 | Ensemble valve de refoulement | 1 |
| 39 | 101 1035 914 | Joint de culasse - épais. 8/10 | 1 |
| 40 | 114 9125 174 | Joint torique | 1 |
| 41 | 101 1032 924 | Couvercle pour A | 1 |
| 41a | 101 1034 903 | Couvercle pour B, C | 1 |
| 42 | 114 9052 060 | Rondelle éventail de 6 | 4 |
| | 114 9111 615 | Vis H 6 x 15 pour compresseur A | 4 |
| 43a | 114 9011 612 | Vis C 6 x 12 pour B, C | 4 |
| 44 | 101 1032 050 | Jauge reniflard pour A | 1 |
| 45 | 114 9069 102 | Joint de jauge pour A | 1 |
| 46 | 114 9020 180 | | 1 |
| 47 | 114 9120 L71 | Ecrou H 18 x 1,50 | 1 |
| 48 | 114 9029 512 | Vis TF 5 x 12 pour A | 10 |
| 49 | 114 9071 161 | | 1 |
| 50 | 101 1032 930 | Joint de bâti pour A et C | 1 |
| 51 | 101 1032 945 | Carter pour A | 1 |
| 51 | 101 1035 925 | Carter pour C | 1 |
| 52 | 114 9125 804 | Joint de carter pour A et C | 1 |
| 53 | 101 1032 933 | Fond pour A | 1 |
| 54 | 114 9001 825 | Vis CHc 8 x 25 pour A et C | 4 |
| 55 | 114 9053 091 | Rondelle éventail de 8 à denture intérieure pour compresseurs A et C | 4 |
| 56 | 114 9067 102 | Rondelle joint pour A et C | 1 |
| 57 | 114 9115 102 | Bouchon de vidange pour A et C M 8 x 1,25 | 1 |
| 58 | 114 9594 118 | Goujon | 4 |
| 59 | 114 9041 131 | Rondelle plate de 8 | 4 |
| | 114 9118 191 | Ecrou H 8 | 4 |
| 61 | 111 1457 000 | Filtre d'aspiration | * |
| | 111 1452 000 | Poulie | * |
| | 114 2260 000 | Plaque d'immatriculation | 1 |
| | 114 9035 101 | Rivet Parker | 2 |

* En supplément sur demande

LOI DE WEIBULL. — Moyenne = $A\eta + \gamma$; écart-type = $B\eta$

| β | A | B | β | A | B | β | A | B |
|---------|--------|-------|---------|--------|-------|---------|--------|-------|
| 0,20 | 120 | 1 901 | 1,50 | 0,9027 | 0,613 | 4 | 0,9064 | 0,254 |
| 0,25 | 24 | 199 | 1,55 | 0,8994 | 0,593 | 4,1 | 0,9077 | 0,249 |
| 0,30 | 9,2605 | 50,08 | 1,60 | 0,8966 | 0,574 | 4,2 | 0,9089 | 0,244 |
| 0,35 | 5,0291 | 19,98 | 1,65 | 0,8942 | 0,556 | 4,3 | 0,9102 | 0,239 |
| 0,40 | 3,3234 | 10,44 | 1,70 | 0,8922 | 0,540 | 4,4 | 0,9114 | 0,235 |
| 0,45 | 2,4786 | 6,46 | 1,75 | 0,8906 | 0,525 | 4,5 | 0,9126 | 0,230 |
| 0,50 | 2 | 4,47 | 1,80 | 0,8893 | 0,511 | 4,6 | 0,9137 | 0,226 |
| 0,55 | 1,7024 | 3,35 | 1,85 | 0,8882 | 0,498 | 4,7 | 0,9149 | 0,222 |
| 0,60 | 1,5046 | 2,65 | 1,90 | 0,8874 | 0,486 | 4,8 | 0,9160 | 0,218 |
| 0,65 | 1,3663 | 2,18 | 1,95 | 0,8867 | 0,474 | 4,9 | 0,9171 | 0,214 |
| 0,70 | 1,2638 | 1,85 | 2 | 0,8862 | 0,463 | 5 | 0,9182 | 0,210 |
| 0,75 | 1,1906 | 1,61 | 2,1 | 0,8857 | 0,443 | 5,1 | 0,9192 | 0,207 |
| 0,80 | 1,1330 | 1,43 | 2,2 | 0,8856 | 0,425 | 5,2 | 0,9202 | 0,203 |
| 0,85 | 1,0880 | 1,29 | 2,3 | 0,8859 | 0,409 | 5,3 | 0,9213 | 0,200 |
| 0,90 | 1,0522 | 1,77 | 2,4 | 0,8865 | 0,393 | 5,4 | 0,9222 | 0,197 |
| 0,95 | 1,0234 | 1,08 | 2,5 | 0,8873 | 0,380 | 5,5 | 0,9232 | 0,194 |
| 1 | 1 | 1 | 2,6 | 0,8882 | 0,367 | 5,6 | 0,9241 | 0,191 |
| 1,05 | 0,9803 | 0,934 | 2,7 | 0,8893 | 0,355 | 5,7 | 0,9251 | 0,186 |
| 1,10 | 0,9649 | 0,878 | 2,8 | 0,8905 | 0,344 | 5,8 | 0,9260 | 0,185 |
| 1,15 | 0,9517 | 0,830 | 2,9 | 0,8917 | 0,334 | 5,9 | 0,9269 | 0,183 |
| 1,20 | 0,9407 | 0,787 | 3 | 0,8930 | 0,325 | 6 | 0,9277 | 0,180 |
| 1,25 | 0,9314 | 0,750 | 3,1 | 0,8943 | 0,316 | 6,1 | 0,9286 | 0,177 |
| 1,30 | 0,9236 | 0,716 | 3,2 | 0,8957 | 0,307 | 6,2 | 0,9294 | 0,175 |
| 1,35 | 0,9170 | 0,687 | 3,3 | 0,8970 | 0,299 | 6,3 | 0,9302 | 0,172 |
| 1,40 | 0,9114 | 0,660 | 3,4 | 0,8984 | 0,292 | 6,4 | 0,9310 | 0,170 |
| 1,45 | 0,9067 | 0,635 | 3,5 | 0,8997 | 0,285 | 6,5 | 0,9318 | 0,168 |
| | | | 3,6 | 0,9011 | 0,278 | 6,6 | 0,9325 | 0,166 |
| | | | 3,7 | 0,9025 | 0,272 | 6,7 | 0,9333 | 0,163 |
| | | | 3,8 | 0,9038 | 0,266 | 6,8 | 0,9340 | 0,161 |
| | | | 3,9 | 0,9051 | 0,260 | 6,9 | 0,9347 | 0,160 |

RANGS MEDIANS D'APRES JOHNSON

| Ordre de rang | Taille de l'échantillon | | | | | | | | | |
|---------------|-------------------------|--------|--------|--------|--------|--------|--------|--------|--------|--------|
| | 1 | 2 | 3 | 4 | 5 | 6 | 7 | 8 | 9 | 10 |
| 1 | 50,000 | 29,289 | 20,630 | 15,910 | 12,945 | 10,910 | 9,428 | 8,300 | 7,412 | 6,697 |
| 2 | | 70,711 | 50,000 | 38,573 | 31,381 | 28,445 | 22,849 | 20,113 | 17,962 | 16,226 |
| 3 | | | 79,370 | 61,427 | 50,000 | 42,141 | 36,412 | 32,052 | 28,624 | 25,857 |
| 4 | | | | 84,090 | 68,619 | 57,859 | 50,000 | 44,015 | 39,308 | 35,510 |
| 5 | | | | | 87,055 | 73,555 | 63,568 | 55,984 | 50,000 | 45,169 |
| 6 | | | | | | 89,090 | 77,151 | 67,948 | 60,691 | 54,631 |
| 7 | | | | | | | 90,572 | 79,867 | 71,376 | 64,490 |
| 8 | | | | | | | | 91,700 | 82,038 | 74,142 |
| 9 | | | | | | | | | 92,587 | 83,774 |
| 10 | | | | | | | | | | 93,303 |

Tableau des symboles des liaisons

| Nom | Degrés de libertés (ddl) | Représentation plane | Représentation en perspective |
|--|---|----------------------|-------------------------------|
| Liaison encastrement | 0 rotation 0 ddl 0 translation | | |
| Liaison pivot | 1 rotation 1 ddl 0 translation | | |
| Liaison pivot glissant | 1 rotation 2 ddl 1 translation | | |
| Liaison glissière | 0 rotation 1 ddl 1 translation | | |
| Liaison hélicoïdale | 1 rotation 1 ddl 1 translation combinés | | |
| Liaison sphérique à doigt | 2 rotations 2 ddl 0 translation | | |
| Liaison rotule ou liaison sphérique | 3 rotations 3 ddl 0 translation | | |
| Liaison appui plan | 1 rotation 3 ddl 2 translations | | |
| Liaison linéaire annulaire ou liaison sphère cylindre | 3 rotations 4 ddl 1 translation | | |
| Liaison linéaire rectiligne | 2 rotations 4 ddl 2 translations | | |
| Liaison sphère-plan ou liaison ponctuelle | 3 rotations 5 ddl 2 translations | | |